

# Kamera-kalibráció felületi normálisok felhasználásával

Eichhardt Iván<sup>1,2</sup>, Hajder Levente<sup>1,2</sup>

<sup>1</sup> MTA SZTAKI, Budapest

{eichhardt.ivan,hajder.levente}@sztaki.mta.hu

<sup>2</sup> Eötvös Loránd Tudományegyetem, Budapest

**Kivonat** Klasszikus kamera-kalibrációs algoritmusok kizárólag pontok közötti összefüggéseket használnak, azonban a kalibrációs képek több információt tartalmaznak, mint néhány 2D koordinátapár. Ezen megközelítés alapján bemutatunk egy eljárást, amely képi vetületek közötti lokális affin összefüggéseket, illetve a kalibrációs objektum felületi normálisait képes felhasználni a kalibrációs probléma zárt alakú megoldására. A kezdetben becült paramétereket numerikusan is finomítjuk. Az algoritmusaink pontosságának validálása szintetikus adatokon történik. Újszerű megközelítésünk valós alkalmazhatóságát egy 3D strukturált fény alapú szkennel kalibrációján keresztül mutatjuk be.

## 1. Bevezetés

A többszörös geometria számos témája [5] között a kamera-kalibrációt gyakran tekintik megoldott problémának. Mérnökök és kutatók előszeretettel alkalmazzák a jól ismert, sok éve publikált, Zhang-féle kalibrációs eljárást [10]. Számos kereskedelmi és ingyenes számítógépes látással kapcsolatos függvénykönyvtár alkalmazza ezt a hatékony és egyszerű kalibrációs eljárást. Alternatívaként használhatunk egy 3D kalibrációs objektumot, ha ismertek az objektum és a kamerakép közötti pontoszerű 3D→2D összefüggések. Ebben az esetben az úgynevezett Direct Linear Transformation [5] (DLT) segítségével egy kellően pontos becslést tehetünk a perspektív vetítés paramétereire, melyet numerikusan tovább finomíthatunk (pl. a Levenberg-Marquardt eljárással [7,9]).

A hagyományos kamera-kalibrációs eljárások kizárólag pontpárok közötti összefüggéseket alkalmaznak, kameraképek [10], vagy egy ismert geometriájú térbeli objektum és annak kamera-képe között [5]. Cikkünkben szemléltetjük, hogy utóbbi esetben a felületi normális további hasznos információt szolgáltat a kalibráció számára, *mely segítségével pontosabb becslést kaphatunk a kérdéses paraméterekre.*

A legjobb tudásunk szerint újszerű ötlet a felületi normálisokat alkalmazni belső és külső paraméterek becslésére. A külső paraméterek kiszámíthatóak

---

Levente Hajder, Ivan Eichhardt, Improvement of Camera Calibration using Surface Normals, ICPR2016

képeken szereplő síkok közötti homográfiák felbontásából [8,4] a felületi normális ismerete nélkül. A felületi normális is megbecsülhető, de a homográfia-dekompozíció egyik jelentős hátránya, hogy nem egyértelmű [6]. Egy másik hátulütője, hogy a homográfia alapú kamera-kalibráció kifejezetten zajérzékeny [11].

Munkánkat főként Barath et al. [1] tanulmánya inspirálta, ahol bemutatták, hogy az egymásnak megfelelő képfoltok közötti affin transzformáció leírható a sztereo-rendszer paramétereit és a hozzájuk tartozó felületi normális ismeretével. Bemutatott eljárásainkkal célunk, hogy pontos, zárt-alakú becslést adjunk a kameraparaméterekre a rendszer második kamerája esetén, ahol az első kamerát kalibrálnak tekintjük, továbbá egy felületről képfoltok ismertek 3D felületi normálisokkal és pozíciókkal.

*Cikkünk a témához való fő hozzájárulása egy újszerű elmélet, mely bemutatja, hogyan becsülhetőek pontos kameraparaméterek, ismert képfoltokhoz rendelt normálisok és közöttük lévő affin transzformációk alapján. Állításainkat valós és szintetikus tesztekkel támasztjuk alá.*

Algoritmusaink bemenete (i) a felületi normálisok a megfigyelt helyeken, (ii) a hozzájuk tartozó 3D pozíciók és (iii) vetületeik 2D helyzetei és közöttük lévő affin transzformációk. Ennek következtében, az algoritmus elsősorban speciális kalibrálási tárgyak használata mellett alkalmazható.

## 2. Jelölések

**Általános megjegyzések.** Ebben a munkában a mátrixokat félkövér nagybetűkkel, vektorokat pedig – a gradiensektől eltekintve – aláhúzással jelöljük. Egy felső index a legtöbbször a képi nézet sorszáma, kivéve, ha az zárójelek között van, ekkor az a megfigyelt képfolt számozása.

Legyen  $\mathbf{B}$  egy  $\mathbb{R}^{a \times b}$  mátrix,  $i \leq j$ ,  $m \leq n$  ahol  $i, j \in \{1, \dots, a\}$  és  $m, n \in \{1, \dots, b\}$ . Az alábbi kifejezés  $\mathbf{B}$  egy *al-mátrixát* jelöli ami a soraiból  $\{i, i+1, \dots, j\}$  és oszlopaiból  $\{m, m+1, \dots, n\}$  vett közös elemekből áll:

$$\mathbf{B}|_{(i:j, m:n)} \in \mathbb{R}^{(j-i+1) \times (n-m+1)} \quad (1)$$

Az egyszerűség kedvéért, akárcsak a Matlab-ban, az alábbi jelöléseket használjuk, ha a kérdéses mátrix összes sorát vagy oszlopát vesszük:

$$\mathbf{B}|_{(:, m:n)} = \mathbf{B}|_{(1:a, m:n)},$$

és

$$\mathbf{B}|_{(i:j, :)} = \mathbf{B}|_{(i:j, 1:b)}.$$

Legyen  $\text{vec}(\mathbf{A})$  az  $\mathbf{A}$  mátrix elemeinek oszloponkénti felsorolása:

$$\text{vec}(\mathbf{A}) := \left[ \mathbf{A}|_{(:, 1)}^T \ \mathbf{A}|_{(:, 2)}^T \ \dots \ \mathbf{A}|_{(:, m)}^T \right]^T.$$

### 3. Elméleti háttér

Munkánk elméleti háttere Barath et al. [1] cikkén alapszik, ahol bemutatták, hogy a 3D→2D vetítőfüggvények a térkoordinátákra vett gradiensei és a felületi normális közötti összefüggés a következőképpen írható le:

$$\begin{bmatrix} |\underline{n} \nabla y_1 \nabla x_2| & |\underline{n} \nabla x_2 \nabla x_1| \\ |\underline{n} \nabla y_1 \nabla y_2| & |\underline{n} \nabla y_2 \nabla x_1| \end{bmatrix} = c\mathbf{A}, \quad (2)$$

ahol  $\nabla \underline{u}_2 = \begin{bmatrix} \nabla x_2 \\ \nabla y_2 \end{bmatrix}$  a vetítőfüggvények gradienseit jelöli,

$$\mathbf{A} = \begin{bmatrix} a_{11} & a_{12} \\ a_{21} & a_{22} \end{bmatrix}$$

a két kamera képén vett képfolt közötti affin transzformáció.  $c = |\nabla x_1 \underline{n} \nabla y_1|$  pedig egy rövidítés, ahol  $|\dots|$  felületi normálisok és vetítőfüggvények 2D koordinátakomponenseire vett gradiens-vektorai közötti egyes szorzat.

A egyes szorzat tulajdonságait felhasználva a következő lineáris egyenletrendszer hozható létre a (2)-es egyenlet egy kompaktabb alakjaként:

$$\nabla \underline{u}_2 \cdot \mathbf{N} = c\mathbf{A} \quad (3)$$

ahol

$$\mathbf{N} = [\underline{n} \times \nabla y_1 \mid -\underline{n} \times \nabla x_1] \in \mathbb{R}^{3 \times 2}. \quad (4)$$

A (3)-ik egyenlet mutatja, hogy az első kamera paraméterei ( $\nabla x_1$ -ben és  $\nabla y_1$ -ben) elválaszthatóak a második kamerától ( $\nabla \underline{u}_2$ -ben). Továbbá ez a viszony linearizálható a koordináták gradienseit tekintve.

### 4. A projekciós mátrix becslése

A kalibrációs probléma bemeneteként a következők adottak:

**Kameramátrix:**  $P^1$ ;

( $\forall i \in \{1 \dots S\}$ ):

**Minta-pontok:**  $\underline{u}_1^{(i)}, \underline{u}_2^{(i)}$  képpont-párok,  $\underline{X}^{(i)}$  3D pontok;

**Felületi normálisok:**  $\underline{n}^{(i)}$ .

**Affin transzformációk:**  $\mathbf{A}^{(i)}$ .

Ebben a részben a második kamera becslését taglaljuk. A kamerát egy  $3 \times 4$ -es projekciós mátrixszal reprezentáljuk.

A perspektív kamera koordinátafüggvényeinek gradienseit az A Függelékben írjuk le. Ez alapján az  $i$ -ik mintára ( $i \in \{1 \dots S\}$ ) a következő linearizált alakot kapjuk:

$$\left( \mathbf{P}^2|_{(1:2, 1:3)} - \underline{u}_2^{(i)} \cdot \mathbf{P}^2|_{(3, 1:3)} \right) \cdot \mathbf{N}^{(i)} = s_2^{(i)} c^{(i)} \mathbf{A}^{(i)} \quad (5)$$

ahol  $s_2^{(i)}$  a projektív mélység a második nézetből és  $\mathbf{P}^2$  a kamera  $3 \times 4$ -es perspektív vetítési mátrixa.

A felső ( $i \in \{1 \dots S\}$ )-ös egyenlet ekvivalens a következővel:

$$E^{(i)} \mathbf{p} = \underline{\mathbf{h}}^{(i)} \quad (6)$$

ahol

$$E^{(i)} = \begin{bmatrix} \mathbf{N}^{(i)}|_{(:,1)}^T & \underline{\mathbf{0}}^T & -x_2^{(i)} \cdot \mathbf{N}^{(i)}|_{(:,1)}^T \\ \underline{\mathbf{0}}^T & \mathbf{N}^{(i)}|_{(:,1)}^T & -y_2^{(i)} \cdot \mathbf{N}^{(i)}|_{(:,1)}^T \\ \mathbf{N}^{(i)}|_{(:,2)}^T & \underline{\mathbf{0}} & -x_2^{(i)} \cdot \mathbf{N}^{(i)}|_{(:,2)}^T \\ \underline{\mathbf{0}}^T & \mathbf{N}^{(i)}|_{(:,2)}^T & -y_2^{(i)} \cdot \mathbf{N}^{(i)}|_{(:,2)}^T \end{bmatrix} \quad (7)$$

$$\underline{\mathbf{h}}^{(i)} = s_2^{(i)} c^{(i)} \mathbf{vec}(\mathbf{A}^{(i)}) \quad (8)$$

Az összes mintát összekapcsolva az alábbi túlhatározott egyenletrendszert kapjuk:

$$\mathbf{E} \cdot \mathbf{p} = \underline{\mathbf{H}} \quad (9)$$

ahol

$$\mathbf{E} = \begin{bmatrix} E^{(1)} \\ E^{(2)} \\ \vdots \\ E^{(S)} \end{bmatrix}, \quad \underline{\mathbf{H}} = \begin{bmatrix} \underline{\mathbf{h}}^{(1)} \\ \underline{\mathbf{h}}^{(2)} \\ \vdots \\ \underline{\mathbf{h}}^{(S)} \end{bmatrix}.$$

A következő alszakaszokban a (9)-es egyenletben foglaltak különböző megoldási lehetőségeit taglaljuk. Fontos megjegyezni, hogy ezen egyenletek alapján kizárólag a projekciós mátrix bal  $3 \times 3$ -as al-mátrixának elemeit ( $\mathbf{p} = \mathbf{vec}(\mathbf{P}^2|_{(1:3,1:3)})$ ) becsülhetjük. Az utolsó, negyedik oszlop a megszokott DLT módszerrel [5] becsülhető. Ezen okból kifolyólag kizárólag a relatív elforgatás és a belső kameraparamétereket tudjuk első megközelítésben megbecsülni, a kamera-középpont relatív eltolásával nem tudunk számolni.

#### 4.1. Iteratív megoldás

Ebben az alszakaszban egy iteratív (alternáló) megoldó működését írjuk le, ahol a kameraparaméterek és a projektív mélységek becslése felváltva finomodik (lásd: 1. algoritmus). A két lépés részleteiben kifejtve a következőképpen alakul.

1. **A  $3 \times 3$ -al al-mátrix becslése:** A (9)-es egyenlet egy ekvivalens alakjaként a következőt vesszük:

$$[\mathbf{E}, -\underline{\mathbf{H}}] \cdot \begin{bmatrix} \mathbf{p} \\ w \end{bmatrix} = \underline{\mathbf{0}} \quad (10)$$

mely egy homogén lineáris egyenletrendszer, ahol  $w = 1$ . Ennek nem-triviális megoldása legyen  $\begin{bmatrix} \hat{\mathbf{p}}' \\ \hat{w} \end{bmatrix}$  (illetve  $\hat{\mathbf{p}} = \frac{\hat{\mathbf{p}}'}{\hat{w}}$ ), a  $[\mathbf{E}, -\underline{\mathbf{H}}]^T [\mathbf{E}, -\underline{\mathbf{H}}]$  mátrix legkisebb sajátértékéhez tartozó sajátvektora.

2. **Projektív mélységek becslése:** Minden mintához  $s_2^{(i)}$  a következő módon kiszámítható:

$$s_2^{(i)} = \text{vec}^+ \left( c^{(i)} \mathbf{A}^{(i)} \right) \cdot \text{vec} \left( \nabla \underline{\mathbf{u}}_2^{(i)} \cdot \mathbf{N}^{(i)} \right) \quad (11)$$

ahol  $\text{vec}^+ \left( c^{(i)} \mathbf{A}^{(i)} \right)$  a  $c^{(i)} \mathbf{A}^{(i)}$  mátrix a Moore-Penrose pszeudoinverze. Ezt a megoldási módot alkalmazhatjuk, mert feltételezzük, hogy a második lépés problémája lineáris  $s_2^{(i)}$ -re vonatkozóan.

Ezen megoldó kezdeti paramétereit a DLT algoritmus [5] segítségével nyerjük ki. Mivel az alternáló lépések egyazon nemnegatív költségfüggvényt minimalizálják, az iteráció konvergál egy lokális vagy globális minimumhoz.

---

**Algorithm 1** Alternáló iteratív megoldó.

---

1.  $\forall i \in \{1 \dots S\} : \text{init} \left( s_2^{(i)} \right) ;$
  2. Ciklus a konvergencia eléréséig:
    - (a) (9) megoldása  $\mathbf{p}$ -re a minden egyes mintára becsült  $s_2^{(i)}$ -vel, felhasználva a (10)-es egyenletet.
    - (b)  $\forall i \in \{1 \dots S\}$ : számold újra  $s_2^{(i)}$  értékét felhasználva a (11)-ik egyenletet.
- 

#### 4.2. Zárt alakú megoldás

A becslés megfogalmazható zárt alakban is, ha feltételezzük, hogy minden  $s_2^{(i)}$  és minden egyéb paraméter ismeretlen egyazon lineáris egyenletrendszernek. Ez alapján a (9)-es egyenletet egy újabb módon fogalmazzuk meg, mellyel egy homogén lineáris egyenletrendszert kapunk:

$$E_2 \cdot \underline{\mathbf{x}} = \underline{\mathbf{0}} \quad (12)$$

ahol

$$\underline{\mathbf{x}} = \left[ \mathbf{p}^T \ s_2^{(1)} \ s_2^{(2)} \ \dots \ s_2^{(S)} \right]^T \in \mathbb{R}^{9+S} \quad (13)$$

és

$$E_2 = \begin{bmatrix} E_2^{(1)} \\ E_2^{(2)} \\ \vdots \\ E_2^{(S)} \end{bmatrix}. \quad (14)$$

Továbbá,  $E_2^{(i)}$  a következő módon kapható meg

$$E_2^{(i)} = \left[ E^{(i)} \ \dots \ \underline{\mathbf{0}} \ -\underline{\boldsymbol{\mu}}^{(i)} \ \underline{\mathbf{0}} \ \dots \right]. \quad (15)$$

ahol  $-\underline{\mu}^{(i)}$  az  $(i+9)$ -ik oszlopa  $E_2^{(i)}$ -nek és

$$\underline{\mu}^{(i)} = \frac{1}{s_2^{(i)}} \underline{h}^{(i)} = c^{(i)} \text{vec}(\mathbf{A}^{(i)}). \quad (16)$$

A becslés problémáját a következő módon fogalmazzuk meg:

$$\min_{\underline{x}} \{E_2 \cdot \underline{x}\} \text{ s.t. } \|\underline{x}\| = 1. \quad (17)$$

Jól ismert, hogy a fenti probléma megoldása az  $E_2^T E_2$  mátrix legkisebb sajátértékéhez tartozó sajátvektora [3].

### 4.3. Hibrid módszer

A javasolt módszerben rejlı újdonosság, hogy az affin transzformációkban rendelkezésre álló információt, ha részlegesen is, de felhasználja. Ezek alatt a nyírás, forgatás tengelyek menti skálázások transzformációját értjük. Ez az eljárás nem használja a két eltolásra vonatkozó paramétert. Ezekkel a paraméterekkel a klasszikus DLT [5] eljárás foglalkozik, segítségükkel becsüli meg a kameraparamétereket. Szerencsére a DLT eljárás egyenletei hozzáfűzhetők a mi egyleteinkhez, hiszen ugyan azon ismeretleneket tartalmazzák (lásd a (13) -as  $\underline{x}$  vektorát). Ezáltal a DLT eljárás további két sort ad az általunk megfogalmazott lineáris egyenletrendszerhez:

$$\left( \mathbf{P}^2|_{(3,:)} \cdot \tilde{\mathbf{X}}^{(i)} \right) \cdot \mathbf{u}_2^{(i)} = \mathbf{P}^2|_{(1:2,:)} \cdot \tilde{\mathbf{X}}^{(i)} \quad (18)$$

mivel a becslés paramétere – az  $\underline{x}$  vektor – tartalmazza a  $\mathbf{P}^2$  elemeit. A probléma továbbra is homogén lineáris egyenletrendszer marad, az optimális  $\underline{x}$  érték pedig továbbra is egy  $\mathbf{G}^T \mathbf{G}$  mátrix legkisebb sajátértékéhez tartozó sajátvektora, ahol a  $\mathbf{G}$  korábbiakhoz képest egy némileg módosított együtthatómátrix.

### 4.4. Numerikus finomítás a Levenberg-Marquardt [9] eljárással

A standard kalibrációs eljárások [5,10] a kezdeti becsléseket tovább finomítják, minimalizálva egy valamilyen geometriailag értelmezhető metrikát, mint például a visszavetítési vagy a Sampson-hibát. Ez esetünkben is lehetséges. Az optimalizáció DLT-vel rokonítható oldalához ((18)-as egyenlet) a visszavetítési hiba használatát javasoljuk. Az affin oldalhoz kapcsolódó hiba a következőképpen fejezhető ki a Frobenius norma segítségével:

$$\left\| \frac{1}{s_2^{(i)} c^{(i)}} \left( \mathbf{P}^2|_{(1:2,1:3)} - \underline{u}_2^{(i)} \cdot \mathbf{P}^2|_{(3,1:3)} \right) \cdot \mathbf{N}^{(i)} - \mathbf{A}^{(i)} \right\|_F^2.$$

Tanulmányukban Bentolila és Francos [2] bizonyította, hogy a (19)-es egyenletben írottak geometriailag értelmezhetőek, hasonlóan a visszavetítési hibához.

A visszavetítési hiba és az affin komponensek tapasztalati úton súlyozhatóak egymás között. Tesztjeinkben minden súlyt 1-nek választottunk meg, de mindez adaptívan változtatható lehet.

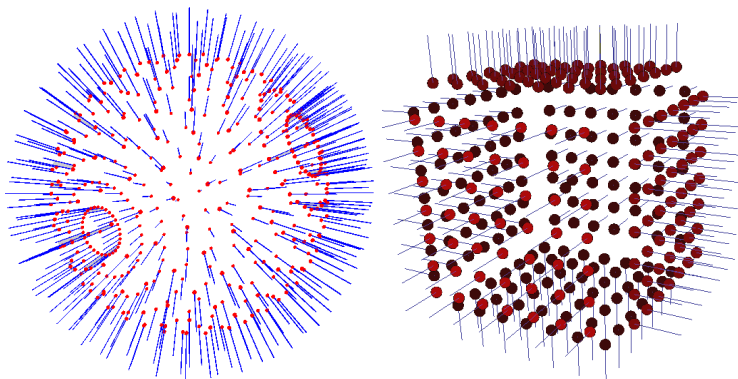
Megjegyezzük, hogy Bentolila és Francos [2] munkája egy kifinomultabb metrikát mutat be az affin hiba mérésére, mely transzformált képfoltok távolságát méri, ám eljárásuk nem integrálható munkánkba.

## 5. Tesztek

A DLT algoritlussal [5] való összehasonlítás céljából a javasolt kalibrációs módszereket szintetikus adatokon teszteltük. A zárt alakú megoldó valós körülmények közötti alkalmazhatóságát egy kamera-projektor rendszer kalibrálásán keresztül igazoltuk.

Választásunk azért esett a DLT-re, mint rivális módszer, mivel ez is egy hasonlóan linearizált alakja a projektív egyenletnek, akárcsak a mi megközelítésünk a ((2))-es egyenlet esetén. Mivel az összes becslőnk ezt a fajta algebrai hibát minimalizálja, kimenetük további numerikus finomításra szorul.

### 5.1. Tesztek szintetikus adatokon



1. ábra. Gömb (left) and cube (right) with surface normals. They were used for synthesized tests.

A szintetikus tesztek során a megközelítésünk a következő: Egy adott geometriai alakzat felületén kvázi egyenletes mintavételezéssel mintapontokat és hozzájuk tartozó felületi normálisokat állítottunk elő, majd ezek „levetítésével” képpontokat és affin transzformációkat (((2))-es egyenlet) kaptunk. A vetítéseket egy szintetikus stereo képpárra végeztük el, a kamerákat pedig egy-egy  $3 \times 4$ -es projekciós mátrix írta le. Az alábbi 3D geometriai alakzatokon végeztük a mintavételezést:

1. *Gömb*: A szintetikus gömb alakzat a felületi normálisokkal együtt az 1. ábrán látható, melyet 72 mintavételi pont segítségével állítottunk elő. Minden teszt-lépésben véletlenszerűsítettük a mintavételezést.
2. *Kocka*: A szintetikus kocka alakzat a felületi normálisokkal együtt az 1. ábrán látható. A kocka minden oldalát egyenletes mintavételezéssel  $7 \times 7 = 49$  helyen vizsgáltuk, így összesen  $49 \cdot 6 = 294$  mintavételi ponttal.

A sztereo pár közötti affin paraméterek kiszámítása a következőképpen zajlott: (i) A mintapontban vett érintősík meghatározása (gömb ill. kocka esetén), (ii) majd ezt követte a képpárra való vetítés. (iii) A sík vetületei egy-egy homográfiát határoznak meg a képekre vonatkoztatva. (iv) Az affin paraméterek a két kép közötti relatív homográfia elsőrendű közelítése a vetületi pontokban. (v) Végezetül zajt adtunk a 2D vetületi pontokhoz és affin transzformációkhoz.

A tesztek során 3 eljárást hasonlítottunk össze: a standard (normalizált) **DLT** algoritmus [5], a javasolt iteratív eljárás (**ALTER**), illetve a zárt alakú megoldó (**CLOSED**). A kalibráció minőségét a becsült projekciós mátrix és a ground truth különbségének Frobenius-normájával mértük. (Megjegyezzük, hogy kizárólag a bal  $3 \times 3$ -as al-mátrix elemeit vizsgáltuk. A mátrixokat normalizáltuk, mielőtt vizsgáltuk különbségüket.) Minden tesztet 20-szor ismételtük meg. Az ábrákról leolvasható az átlagos hiba és a medián.

A 3. ábrán látható, hogy a normálisokat alkalmazó eljárásaink (**ALTER** és **CLOSED**) egyaránt jelentős fölényrel teljesítenek, a rivális **DLT** eljáráshoz képest. Ez igaz a gömbbel vagy a kockával végzett tesztekre is. A diagramokon látható, hogy az **ALTER** és **CLOSED** módszerek kimenetének minősége közel azonos. Ez elvárt viselkedés, hiszen azonos hibát próbálnak minimalizálni.

Az eljárások időigényét tekintve (4. ábra), a zárt alakú **CLOSED** algoritmus javasolt, hiszen az jelentősen gyorsabb az iteratív változatnál. A **DLT** algoritmus a többi eljárásnál gyorsabb, ám ez evidens, hiszen a megoldónál használatos együttthatómátrix kevesebb elemet tartalmaz, így annak felépítése vagy a sajátérték-felbontása is időben kevésbé költséges.

A következő szintetikus teszt a 4.3. részben bemutatott eljárást hasonlítja össze a **DLT**-vel. Mindkét eljárás kétféleképpen lett implementálva: (i) az eredeti zárt alakú becslő, illetve (ii) a Levenberg-Marquardt technikával numerikusan finomított változat, ahogyan az a 4.4. részben le van írva. Az eredmény a 5. ábrán látható.

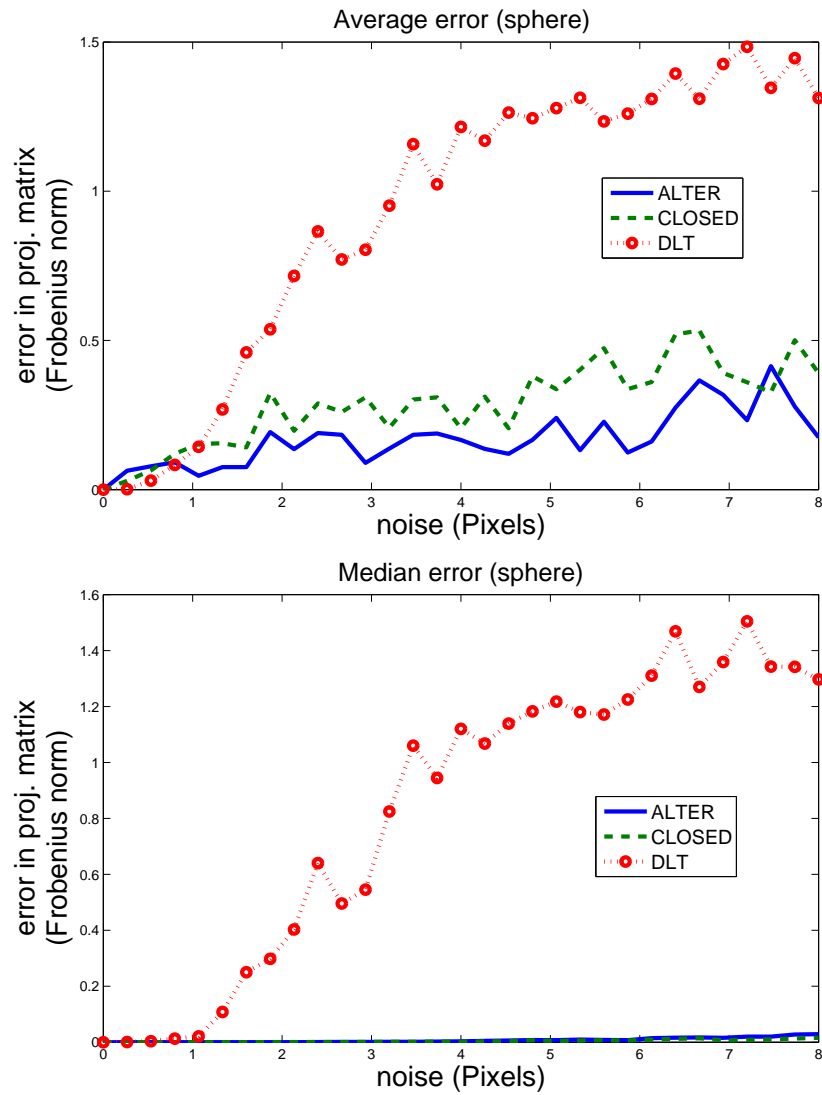
A tesztből kiderül, hogy a hibrid verzió minden esetben jobban teljesít, mint az eredeti **DLT** eljárás, mivel előbbi több információt használ fel, így a túlhatározott egyenletrendszer is több egyenletet tartalmaz. Ez természetesen igaz a numerikus finomítást tartalmazó **HybridLM** és **DirectLM** esetére vetítve is.

## 5.2. Tesztek valós adatokon

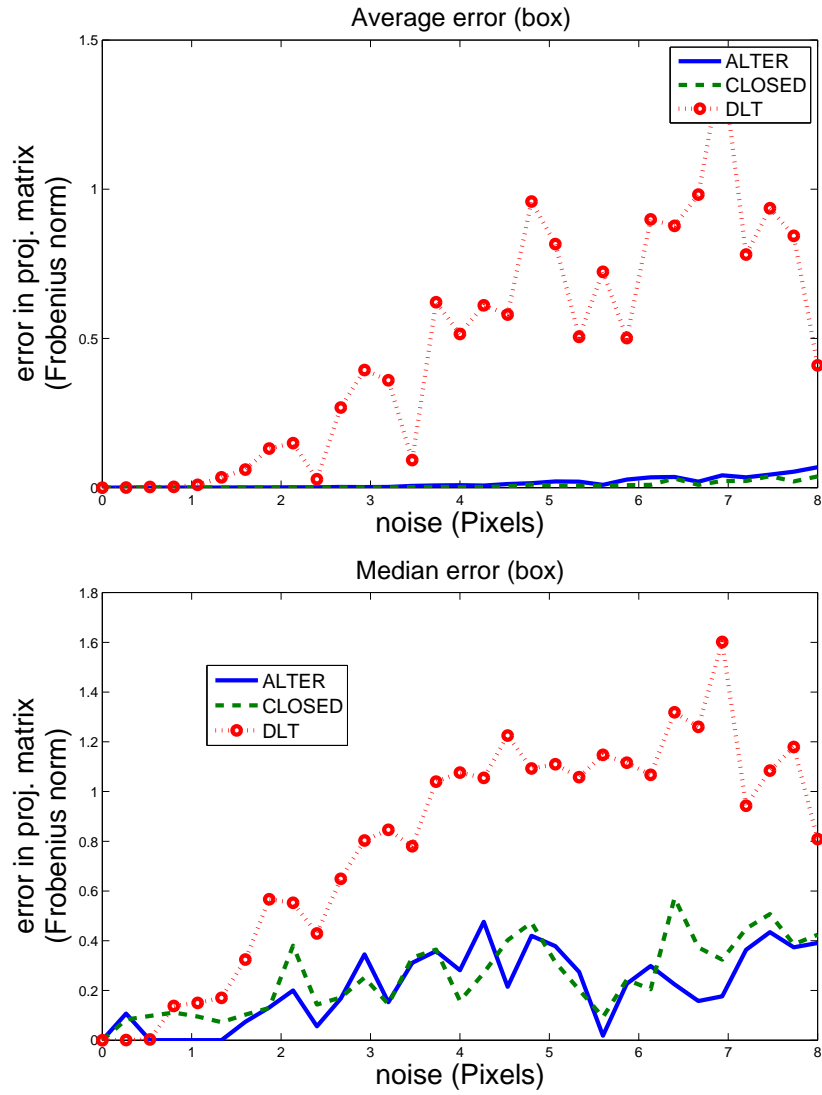
Kalibrációs eljárásunkat sikeresen alkalmaztuk egy forgóasztalos kamera-projektor strukturált fényes rendszer esetén. A felszerelésről egy kép a 6. ábrán látható.

A javasolt módszerben többek között újdonság, hogy *a teljes eljárásnak elegendő egyetlen bemeneti kép a projektor által kivetített ábráról, a két eszköz pedig*

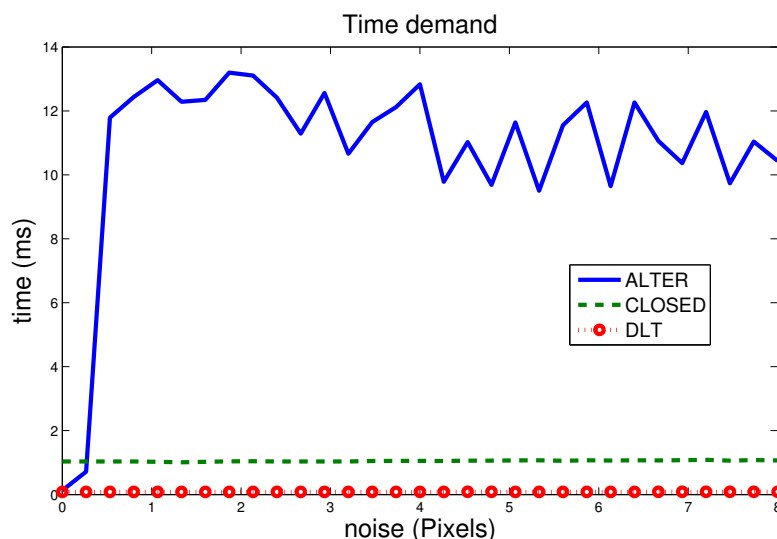




2. ábra. Gömb: A linearizált becslők szintetikus tesztheinek eredménye. A javasolt eljárásaink jelentősen nagyobb pontosságot nyújtanak a DLT-vel szemben.



3. ábra. Kocka: A linearizált becslők szintetikus tesztjeinek eredménye. A javasolt eljárásaink jelentősen nagyobb pontosságot a javasolt DLT-vel szemben.



4. ábra. A rivális metódusok időigénye milliszekundumokban. A javasolt zárt alakú „CLOSED” eljárás jelentősen gyorsabb, mint az iterációt igénylő ALTER. Mindkét javasolt eljárás lassabb a DLT-nél: kompromisszumot kell kötni a minőség és a sebesség között.

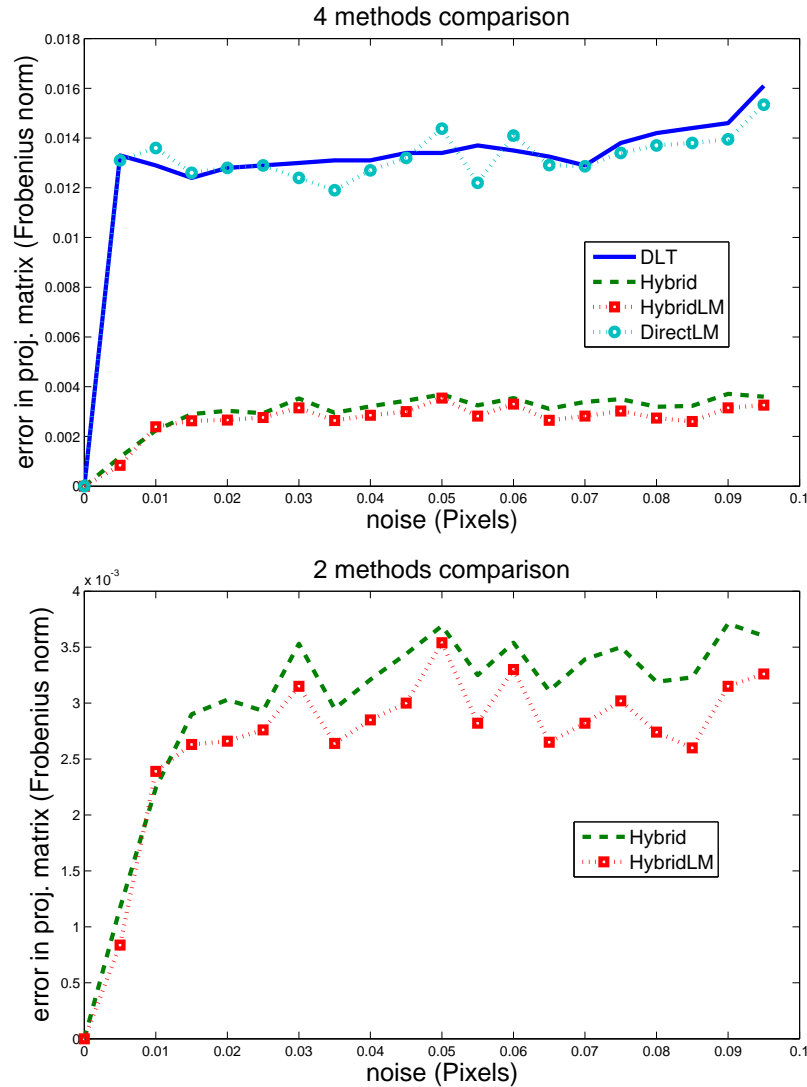
*tetszőleges perspektív paraméterekkel rendelkezhet.* A választott kalibrációs objektum egy kocka, melyet a projektorral egy speciális minta segítségével világítunk meg, ahogyan az a 6. ábra bal oldalán látható.

**Kamera kalibrációja** A kocka látható sarkait kézzel megjelöltük, majd a kamera ismeretlen paramétereit a DLT eljárással [5] becsültük meg. A becsült mátrixot belső, illetve külső (forgatás és eltolás) paraméterekre bontottuk.

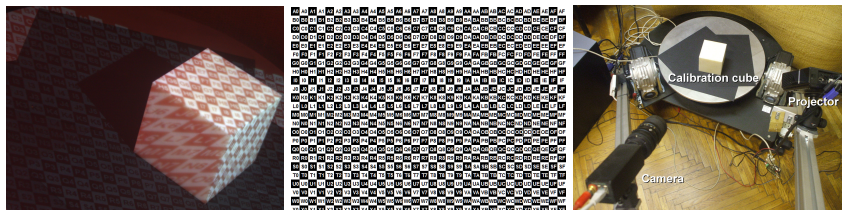
**Projektor kalibrációja** Az eljárásunkban a fő újdonság a projektor paramétereinek becslése. Az algoritmus képes a projektort reprezentáló perspektív vetületi mátrix bal felső  $3 \times 3$ -as al-mátrixát megbecsülni. Az eljárásnak szüksége van affin transzformációkra a mintavételi pontok helyén. A kamera és a projektor perspektivitása miatt homográfiával le lehet írni a kocka sík oldalaira kivetített minta és a kamera képe közötti transzformációt. Az affin paraméterek a homográfia első deriváltjából nyerhetők ki, ahogyan az a B. függelékben is olvasható.

Ha a kockának 7 sarka látható a kamera képén, akkor a 3 látható oldal síkjai és felületi normálisai is ismertek. Ezen normálisok és a számított affin transzformációk szolgálnak a kalibrációs eljárás bemeneteként.

A kivetített minta kódokat tartalmaz, ahogyan az a 6. ábra közepén is látható. Használatuk a sakktábla-sarkak helyes manuális kiválasztása miatt elenged-



5. ábra. Linearizált és numerikusan finomított kimenetek összehasonlítása. Vízszintes tengely: relatív zajszint. Függőleges tengely: A becsült projekciós mátrix a ground truth-tól vett normalizált távolsága. DLT: a standard Direct Linear Transformation eljárás. Hybrid: DLT + CLOSED algoritmusok elegye. DirectLM: A DLT kimenetének Levenberg-Marquardt (LM) eljárással numerikusan finomított változata. HybridLM: LM finomítás a Hybrid kimenetén. Felső ábra: A rivális eljárások összehasonlítása. Alsó ábra: A hibrid és a finomított változatának összehasonlítása.



6. ábra. A javasolt eljárást valós körülmények között a strukturált fény alapú rendszerünk kalibrációján keresztül validáltuk. Bal: A speciális minta kivetetve a kalibrációs objektumra. Közép: A projektor által kivetített kalibrációs minta. Jobb: Fénykép a teljes felszerelésről és a kalibrációs objektumról.

hetetlen. Egy jövőbeni munkaként lehetséges egy automatikus eljárás kifejlesztése a sarkak detekciójára, ám ez a jelen tanulmány keretein túlmutat.

A végső lépések tömör összefoglalása a következő: a zárt alakú (CLOSED) eljárás megbecsüli a projektor perspektív vetületi mátrixát. A belső paramétereket RQ-felbontással nyerjük ki ebből. A becült paraméterek a következők: vízszintes és függőleges fókusztávolságok  $f_u = 1136$ ,  $f_v = 1068$ ; nyírás  $s = 59$ ; dőféspont  $\underline{p}_0 = [478, 758]$ . A becült paraméterek érvényesek, hiszen a vízszintes és függőleges fókusztávolságok megközelítőleg azonosak, a nyírás pedig jelentősen kisebb náluk. A projektor felbontása  $800 \times 600$ , így a dőféspont koordinátái is elfogadható helyen helyezkednek el.

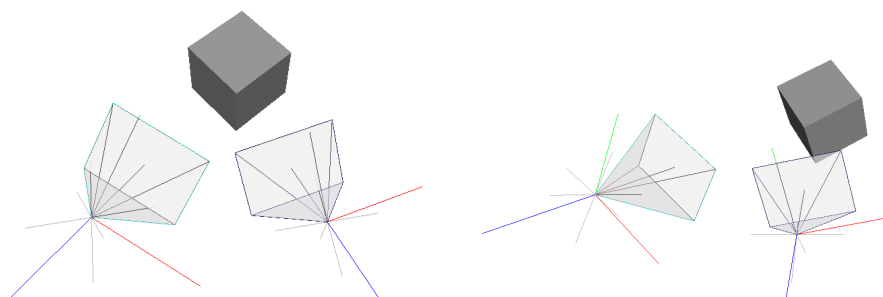
A projektort a tesztől függetlenül, egy standard sakktábla alapú eljárással [10] is kalibráltuk, illetve azt tovább finomítottuk numerikusan. Bemenetként *néhány tucat* képet használtunk. Az így becült dőféspont  $[467, 764]$  és fókusztávolságok 1454 és 1461 közel esnek az algoritmusunk által becülthez.

A kalibrált rendszer a 7. ábrán két nézetből. A gúlán a perspektív kameraparamétereket reprezentálják a kamera (bal) és a projektor (jobb) esetén. A kalibrációs objektum (kocka) a képek közepén látható.

## 6. Követekztések

Bemutattuk, hogy a felületi normálisok ismerete egy kalibrációs objektum esetén felhasználható jobb minőségű kameraparaméterek becsléséhez. Két fő módszerrel mutattunk be a felületi normális felhasználó kalibrációhoz. Taglaltuk az újfajta eljárások tulajdonságait és validáltuk azokat valós és szintetikus tesztek során.

A tesztek megmutatták, hogy a zárt alakú megoldót érdemes használni, gyorsasága és pontossága végett. Egy projektor-kamera rendszert is sikeresen kalibráltunk a bemutatott eljárások segítségével.



7. ábra. A kalibrált kamera-projektor rendszer két nézetből bemutatva. A kamerát és a projektort gúlákkal reprezentáljuk, illetve a képeken látható kocka a kalibrációs objektum.

## Hivatkozások

1. Daniel Barath, Jozsef Molnar, and Levente Hajder. Novel methods for estimating surface normals from affine transformations. In *Computer Vision, Imaging and Computer Graphics Theory and Applications*, pages 316–337. Springer International Publishing, 2016.
2. Jacob Bentolila and Joseph M. Francos. Conic epipolar constraints from affine correspondences. *Computer Vision and Image Understanding*, 122:105–114, 2014.
3. Åke Björck. *Numerical Methods for Least Squares Problems*. Siam, 1996.
4. Olivier Faugeras and F. Lustman. Motion and structure from motion in a piecewise planar environment. Technical Report RR-0856, INRIA, 1988.
5. R. I. Hartley and A. Zisserman. *Multiple View Geometry in Computer Vision*. Cambridge University Press, 2003.
6. Liu He. *Deeper Understanding on Solution Ambiguity in Estimating 3D Motion Parameters by Homography Decomposition and its Improvement*. PhD thesis, University of Fukui, 2012.
7. K. Levenberg. A method for the solution of certain problems in least squares. *Quart. Appl. Math.*, 2:164–168, 1944.
8. Ezio Malis and Manuel Vargas. Deeper understanding of the homography decomposition for vision-based control. Technical Report RR-6303, INRIA, 2007.
9. D. Marquardt. An algorithm for least-squares estimation of nonlinear parameters. *SIAM J. Appl. Math.*, 11:431–441, 1963.
10. Zhengyou Zhang. A flexible new technique for camera calibration. *IEEE Transactions on Pattern Analysis and Machine Intelligence*, 22(11):1330–1334, 2000.
11. Chuan Zhou, Da-Long Tan, Feng Zhu, and Zaili Dong. A planar homography estimation method for camera calibration. In *Proceedings of the IEEE International Symposium on Computational Intelligence in Robotics and Automation*, pages 424–429, 2003.

## A. Perspektív kamera parciális deriváltjai

A függelék ezen része bemutatja, hogy a vetítőfüggvény  $[x, y]$  komponenseire hogyan számolhatóak ki a  $[X, Y, Z]$  térkoordináták parciális deriváltjai.

Jelöljük a  $\mathbf{P}$  perspektív mátrix  $i, j$ -ik komponensét a mint  $P^{ij}$  és a  $k$ -ik sort mint  $P^k$ .

$$\frac{\partial x}{\partial X} = \frac{\partial P^1_{[X, Y, Z, 1]^T}}{\partial P^3_{[X, Y, Z, 1]^T}} = \frac{P^{11}s - P^{31} \left( P^1 [X, Y, Z, 1]^T \right)}{s^2} = \frac{1}{s} (P^{11} + xP^{31})$$

ahol  $s = P^3 [X, Y, Z, 1]^T$  a projektív mélység. Hasonlóan,

$$\begin{aligned} \frac{\partial x}{\partial Y} &= \frac{1}{s} (P^{12} + xP^{32}), & \frac{\partial x}{\partial Z} &= \frac{1}{s} (P^{13} + xP^{33}), \\ \frac{\partial y}{\partial X} &= \frac{1}{s} (P^{21} + yP^{31}), & \frac{\partial y}{\partial Y} &= \frac{1}{s} (P^{22} + yP^{32}), \\ \frac{\partial y}{\partial Z} &= \frac{1}{s} (P^{23} + yP^{33}). \end{aligned}$$

A cikk java részének jelöléseit felhasználva a vetítés térkoordinátákra vett Jacobi-ja a következő kompakt alakban fejezhető ki:

$$\nabla \underline{u} = \frac{1}{s} \left( \mathbf{P}|_{(1:2, 1:3)} - \underline{u} \cdot \mathbf{P}|_{(3, 1:3)} \right) \quad (19)$$

ahol  $\underline{u} = [x, y]^T$ .

## B. Affin paraméterek kinyerése a homográfiából

Ez a rész bemutatja, hogyan számíthatóak az affin paraméterek képpáron lévő egymásnak megfelelő  $[u, v]^T$ ,  $[u', v']^T$  pontok esetén, ha a síkok homográfiája ismert a képek között. Ezt a módszert használtuk valós tesztek esetén, az 5.2. részben.

Az affin transzformáció paramétereit a homográfiából nyerjük ki. Legyen adott a  $H$  homográfia, mint  $3 \times 3$ -as mátrix. Az említett pont-pár egymásnak megfelel. Ez a következőképpen fejezhető ki:

$$u' = \frac{h_1^T [u, v, 1]^T}{h_3^T [u, v, 1]^T}, \quad v' = \frac{h_2^T [u, v, 1]^T}{h_3^T [u, v, 1]^T}$$

ahol  $H$  a  $3 \times 3$  homográfia-mátrix a következőképpen:

$$H = \begin{bmatrix} h_1^T \\ h_2^T \\ h_3^T \end{bmatrix} = \begin{bmatrix} h_{11} & h_{12} & h_{13} \\ h_{21} & h_{22} & h_{23} \\ h_{31} & h_{32} & h_{33} \end{bmatrix}.$$

Az affin transzformáció paraméterei a síkok közötti perspektív transzformáció parciális deriváltjai. A bal felső eleme  $a_{11}$  az affin transzformációnak a következő:

$$a_{11} = \frac{\partial u'}{\partial u} = \frac{h_{11}h_3^T[u,v,1]^T - h_{31}h_1^T[u,v,1]^T}{(h_3^T[u,v,1]^T)^2} = \frac{h_{11} - h_{31}u'}{s}$$

ahol  $s = h_3^T[u, v, 1]^T$ . A többi komponense az affin transzformációnak hasonlóan számítható:

$$\begin{aligned} a_{12} &= \frac{\partial u'}{\partial v} = \frac{h_{12} - h_{32}u'}{s}, & a_{21} &= \frac{\partial v'}{\partial u} = \frac{h_{21} - h_{31}v'}{s}, \\ a_{22} &= \frac{\partial v'}{\partial v} = \frac{h_{22} - h_{32}v'}{s}. \end{aligned}$$